

===== ОБЫКНОВЕННЫЕ ДИФФЕРЕНЦИАЛЬНЫЕ УРАВНЕНИЯ =====

УДК 517.929

РЕЛАКСАЦИОННЫЕ АВТОКОЛЕБАНИЯ
В НЕЙРОННЫХ СИСТЕМАХ. III

© 2012 г. С. Д. Глызин, А. Ю. Колесов, Н. Х. Розов

Рассматривается математическая модель нейронной системы, представляющая собой цепочку из произвольного числа m , $m \geq 2$, диффузионно связанных сингулярно возмущенных нелинейных дифференциальных уравнений с запаздыванием и с условиями типа Неймана на концах. Изучаются вопросы существования, асимптотики и устойчивости релаксационных периодических решений у этой системы.

1. Описание объекта исследования. Математическая модель, которая будет исследоваться ниже, имеет вид [1]

$$\dot{u}_j = d(u_{j+1} - 2u_j + u_{j-1}) + \lambda[-1 + \alpha f(u_j(t-1)) - \beta g(u_j)]u_j, \quad j = \overline{1, m}, \quad (1)$$

где $m \geq 2$, $u_{m+1} = u_m$, $u_0 = u_1$. Здесь $u_j = u_j(t) > 0$ – мембранные потенциалы нейронов, $\lambda > 0$ – большой параметр, а параметры $\alpha, \beta > 0$, имеющие порядок единицы, удовлетворяют неравенству

$$\alpha > 1 + \beta. \quad (2)$$

Функции $f(u)$, $g(u)$, как и в [2], будем считать принадлежащими классу $C^2(\mathbb{R}_+)$, $\mathbb{R}_+ = \{u \in \mathbb{R} : u \geq 0\}$, и обладающими свойствами

$$f(0) = g(0) = 1, \quad 0 < \beta g(u) + 1 < \alpha \quad \forall u \in \mathbb{R}_+; \quad (3)$$

$$f(u), g(u), u f'(u), u g'(u), u^2 f''(u), u^2 g''(u) = O(1/u) \quad \text{при } u \rightarrow +\infty.$$

При сформулированных условиях система (1) допускает так называемый однородный или синхронный цикл

$$u_1 \equiv u_2 \equiv \dots \equiv u_m = u_*(t, \lambda), \quad (4)$$

где $u_*(t, \lambda)$ – устойчивое периодическое решение уравнения

$$\dot{u} = \lambda[-1 + \alpha f(u(t-1)) - \beta g(u)]u \quad (5)$$

периода

$$T_*(\lambda) : \lim_{\lambda \rightarrow \infty} T_*(\lambda) = T_0, \quad T_0 = \alpha + 1 + (\beta + 1)/(\alpha - \beta - 1). \quad (6)$$

Напомним, что существование и единственность у уравнения (5) требуемого цикла уже установлены нами в [3].

В дальнейшем мы покажем, что, во-первых, однородный цикл (4) системы (1) экспоненциально орбитально устойчив при любом фиксированном $d > 0$ и при всех $\lambda \gg 1$; во-вторых, при подходящем выборе параметров α , β и надлежащем уменьшении коэффициента диффузии d наряду с устойчивым однородным циклом эта система имеет не менее m экспоненциально орбитально устойчивых неоднородных периодических движений. Последние по аналогии с пространственно непрерывным случаем будем называть автоволновыми режимами.

2. Базовая теорема. Как и в случае $m = 2$, рассмотренном в [2], последующий анализ системы (1) будем проводить в новых переменных x , y_1, \dots, y_{m-1} , где

$$u_1 = \exp\left(\frac{x}{\varepsilon}\right), \quad u_j = \exp\left(\frac{x}{\varepsilon} + \sum_{k=1}^{j-1} y_k\right), \quad j = \overline{2, m}, \quad \varepsilon = \frac{1}{\lambda} \ll 1. \quad (7)$$

Подставляя выражения (7) в систему (1), приходим к релаксационной системе

$$\begin{aligned}\dot{x} &= \varepsilon d(\exp y_1 - 1) + F(x, x(t-1), \varepsilon), \\ \dot{y}_j &= d[\exp y_{j+1} + \exp(-y_j) - \exp y_j - \exp(-y_{j-1})] + \\ &+ G_j(x, x(t-1), y_1, \dots, y_j, y_1(t-1), \dots, y_j(t-1), \varepsilon), \quad j = \overline{1, m-1},\end{aligned}\quad (8)$$

где $y_0 = y_m = 0$, а функции F , G_j имеют вид

$$\begin{aligned}F(x, u, \varepsilon) &= -1 + \alpha f\left(\exp\left(\frac{u}{\varepsilon}\right)\right) - \beta g\left(\exp\left(\frac{x}{\varepsilon}\right)\right), \\ G_j(x, u, y_1, \dots, y_j, v_1, \dots, v_j, \varepsilon) &= \\ &= \frac{\alpha}{\varepsilon} \left[f\left(\exp\left(\frac{u}{\varepsilon} + \sum_{k=1}^j v_k\right)\right) - f\left(\exp\left(\frac{u}{\varepsilon} + \sum_{k=1}^{j-1} v_k\right)\right) \right] + \\ &+ \frac{\beta}{\varepsilon} \left[g\left(\exp\left(\frac{x}{\varepsilon} + \sum_{k=1}^{j-1} y_k\right)\right) - g\left(\exp\left(\frac{x}{\varepsilon} + \sum_{k=1}^j y_k\right)\right) \right], \quad j = \overline{1, m-1}.\end{aligned}$$

Зафиксируем постоянную σ_0 , подчиненную требованиям $0 < \sigma_0 < \min((\beta+1)/(\alpha-\beta-1), 1)$, и на отрезке $-\sigma_0 \leq t \leq T_0 - \sigma_0$, где T_0 – величина из (6), обозначим через $y_1^0(t, z), \dots, y_{m-1}^0(t, z)$, $z = (z_1, \dots, z_{m-1}) \in \mathbb{R}^{m-1}$, компоненты решения импульсной системы

$$\begin{aligned}\dot{y}_j &= d[\exp y_{j+1} + \exp(-y_j) - \exp y_j - \exp(-y_{j-1})], \\ y_j(+0) &= \frac{\alpha-1}{\alpha-\beta-1} y_j(-0), \quad y_j(1+0) = y_j(1-0) - \frac{\alpha}{\alpha-1} y_j(+0), \\ y_j(\alpha+0) &= (1+\beta) y_j(\alpha-0), \quad y_j(\alpha+1+0) = y_j(\alpha+1-0) - \frac{\alpha}{1+\beta} y_j(\alpha+0), \\ j &= \overline{1, m-1}, \quad y_0 = y_m = 0,\end{aligned}\quad (9)$$

дополненной начальным условием

$$(y_1, \dots, y_{m-1})|_{t=-\sigma_0} = (z_1, \dots, z_{m-1}). \quad (10)$$

Далее, рассмотрим отображение

$$z \rightarrow \Phi(z) \stackrel{\text{def}}{=} (y_1^0(t, z), \dots, y_{m-1}^0(t, z))|_{t=T_0-\sigma_0}, \quad (11)$$

действующее из \mathbb{R}^{m-1} в \mathbb{R}^{m-1} . Справедлива

Теорема 1. *Любой неподвижной точке $z = z_*$ отображения (11), экспоненциально устойчивой или дихотомичной, в системе (8) при всех достаточно малых $\varepsilon > 0$ соответствует релаксационный цикл $(x(t, \varepsilon), y_1(t, \varepsilon), \dots, y_{m-1}(t, \varepsilon))$, $x(-\sigma_0, \varepsilon) \equiv -\sigma_0(\alpha - \beta - 1)$ периода $T(\varepsilon)$ с теми же свойствами устойчивости. Кроме того, справедливы предельные соотношения*

$$\begin{aligned}\lim_{\varepsilon \rightarrow 0} T(\varepsilon) &= T_0, \quad \lim_{\varepsilon \rightarrow 0} \max_{-\sigma_0 \leq t \leq T(\varepsilon) - \sigma_0} |x(t, \varepsilon) - x_0(t)| = 0, \\ \lim_{\varepsilon \rightarrow 0} \max_{t \in \Sigma(\varepsilon)} |y_j(t, \varepsilon) - y_j^0(t, z_*)| &= 0, \quad j = \overline{1, m-1},\end{aligned}$$

где T_0 -периодическая функция $x_0(t)$ задана равенствами

$$x_0(t) = \begin{cases} (\alpha - 1)t & \text{при } 0 \leq t \leq 1, \\ \alpha - t & \text{при } 1 \leq t \leq \alpha, \\ -(1 + \beta)(t - \alpha) & \text{при } \alpha \leq t \leq \alpha + 1, \\ (\alpha - \beta - 1)(t - \alpha - 1) - 1 - \beta & \text{при } \alpha + 1 \leq t \leq T_0, \end{cases} \quad x_0(t + T_0) \equiv x_0(t),$$

а множество $\Sigma(\varepsilon)$ представляет собой отрезок $[-\sigma_0, T(\varepsilon) - \sigma_0]$ с выброшенными интервалами $(-\varepsilon^\delta, \varepsilon^\delta)$, $(1 - \varepsilon^\delta, 1 + \varepsilon^\delta)$, $(\alpha - \varepsilon^\delta, \alpha + \varepsilon^\delta)$, $(\alpha + 1 - \varepsilon^\delta, \alpha + 1 + \varepsilon^\delta)$, $\delta = \text{const} \in (0, 1)$.

Доказательство данной теоремы опустим, поскольку в случае $m = 2$ оно подробно изложено в работе [2]. Единственный новый момент, появляющийся при $m > 2$ и нуждающийся в дополнительном анализе, связан с корректностью определения отображения (11).

Действительно, на промежутках $-\sigma_0 \leq t < 0$, $0 < t < 1$, $1 < t < \alpha$, $\alpha < t < \alpha + 1$ и $\alpha + 1 < t \leq T_0 - \sigma_0$ решение задачи Коши (9), (10) удовлетворяет нелинейной системе

$$\dot{y}_j = d[\exp y_{j+1} + \exp(-y_j) - \exp y_j - \exp(-y_{j-1})], \quad j = \overline{1, m-1}, \quad y_0 = y_m = 0. \quad (12)$$

Таким образом, возникает вопрос о продолжимости решений последней на указанные промежутки времени, длины которых отнюдь не малы.

При $m = 2$ поставленный вопрос тривиален, так как в этом случае система (12) переходит в скалярное уравнение $\dot{y} = -2d \operatorname{sh} y$. В случае же $m > 2$ ответ на него дает

Лемма 1. *Решение $(y_1(t), \dots, y_{m-1}(t))$ системы (12) с произвольным начальным условием $(y_1, \dots, y_{m-1})|_{t=0} = (\bar{y}_1, \dots, \bar{y}_{m-1}) \in \mathbb{R}^{m-1}$ определено на полуоси $t \geq 0$ и стремится к нулю при $t \rightarrow +\infty$.*

Для доказательства достаточно заметить, что любое решение системы (12) записывается в виде

$$y_j(t) = \ln(\xi_{j+1}(t)/\xi_j(t)), \quad j = \overline{1, m-1}, \quad (13)$$

где $(\xi_1(t), \dots, \xi_m(t))$ – произвольное решение линейной системы

$$\dot{\xi}_j = d(\xi_{j+1} - 2\xi_j + \xi_{j-1}), \quad j = \overline{1, m}, \quad \xi_0 = \xi_1, \quad \xi_{m+1} = \xi_m, \quad (14)$$

принадлежащее инвариантному конусу $K = \{(\xi_1, \dots, \xi_m) : \xi_j > 0, j = \overline{1, m}\}$. Учитывая, далее, в равенствах (13) известные свойства системы (14), касающиеся поведения ее решений при $t \rightarrow +\infty$, получаем требуемый результат.

3. Анализ предельного отображения. В первую очередь запишем правую часть отображения (11) в инвариантной форме, не зависящей от выбора параметра σ_0 . Для этого обозначим через $P^t(z)$, $t \in \mathbb{R}$, $z \in \mathbb{R}^{m-1}$, $P^0(z) = z$, оператор сдвига по траекториям системы (12) и положим $\bar{z} = \Phi(z)$. Тогда отображение (11) может быть представлено в виде

$$\bar{z} = (P^{T_0-\alpha-1-\sigma_0} \circ P_4 \circ P^1 \circ P_3 \circ P^{\alpha-1} \circ P_2 \circ P^1 \circ P_1 \circ P^{\sigma_0})(z), \quad (15)$$

где через P_j , $j = \overline{1, 4}$, обозначены операторы пересчета начальных условий в точках $t = 0$, $t = 1$, $t = \alpha$ и $t = \alpha + 1$ соответственно, действующие по правилам

$$P_1(z) = \frac{\alpha - 1}{\alpha - \beta - 1} z, \quad P_2(z) = z - \frac{\alpha}{\alpha - 1} P^{-1}(z), \quad P_3(z) = (\beta + 1)z, \quad (16)$$

$$P_4(z) = z - \frac{\alpha}{\beta + 1} P^{-1}(z).$$

Далее, применим к левой и правой частям получившегося равенства (15) оператор P^{σ_0} и выполним замену $P^{\sigma_0}(z) \rightarrow z$. В итоге с учетом очевидного соотношения $P^{T_0-\alpha-1-\sigma_0} = P^{-\sigma_0} \circ P^{T_0-\alpha-1}$ интересующее нас отображение принимает требуемую инвариантную форму

$$z \rightarrow \Phi_0(z) \stackrel{\text{def}}{=} (P^{T_0-\alpha-1} \circ P_4 \circ P^1 \circ P_3 \circ P^{\alpha-1} \circ P_2 \circ P^1 \circ P_1)(z). \quad (17)$$

Поиск аттракторов отображения (17) начнем с анализа свойств устойчивости его неподвижной точки $z = 0$.

Лемма 2. Нулевая неподвижная точка отображения (17) экспоненциально устойчива при любых значениях параметров $\alpha, \beta > 0$, удовлетворяющих условию (2), и при любом $d > 0$.

Доказательство. Несложно показать, что отвечающая точке $z = 0$ матрица Якоби $\Phi'_0(0)$ есть оператор сдвига по решениям импульсной системы

$$\begin{aligned} \dot{h}_j &= d(h_{j+1} - 2h_j + h_{j-1}), \\ h_j(+0) &= \frac{\alpha - 1}{\alpha - \beta - 1} h_j(-0), \quad h_j(1+0) = h_j(1-0) - \frac{\alpha}{\alpha - 1} h_j(+0), \\ h_j(\alpha + 0) &= (1 + \beta)h_j(\alpha - 0), \quad h_j(\alpha + 1 + 0) = h_j(\alpha + 1 - 0) - \frac{\alpha}{1 + \beta} h_j(\alpha + 0), \\ j &= \overline{1, m-1}, \quad h_0 = h_m = 0, \end{aligned} \quad (18)$$

за время от $t = -0$ до $t = T_0 - 0$. Далее, применим к системе (18) метод Фурье по собственным векторам разностного оператора Лапласа, точнее говоря, положим

$$h_j = \sum_{k=1}^{m-1} g_k(t) \sin\left(\frac{\pi k}{m} j\right), \quad j = \overline{1, m-1}. \quad (19)$$

В результате убеждаемся в том, что компоненты $g_k(t)$, $k = \overline{1, m-1}$, из равенства (19) являются решениями импульсной системы

$$\begin{aligned} \dot{g} &= -sg, \quad g(+0) = \frac{\alpha - 1}{\alpha - \beta - 1} g(-0), \quad g(1+0) = g(1-0) - \frac{\alpha}{\alpha - 1} g(+0), \\ g(\alpha + 0) &= (1 + \beta)g(\alpha - 0), \quad g(\alpha + 1 + 0) = g(\alpha + 1 - 0) - \frac{\alpha}{1 + \beta} g(\alpha + 0) \end{aligned} \quad (20)$$

при $0 \leq t \leq T_0$, $s = s_k$, где

$$s_k = 4d \sin^2\left(\frac{\pi k}{2m}\right), \quad k = \overline{1, m-1}. \quad (21)$$

На завершающем этапе дополним систему (20) начальным условием $g|_{t=-0} = 1$, проинтегрируем получившуюся задачу Коши и положим $\mu_k = g|_{t=T_0-0, s=s_k}$, где s_k – дискретные значения (21) параметра s . В итоге получаем набор чисел μ_k , $k = \overline{1, m-1}$, который, как нетрудно увидеть, образует спектр интересующей нас матрицы $\Phi'_0(0)$. Более того, справедливы соотношения

$$\mu_k = \mu(s)|_{s=s_k}, \quad k = \overline{1, m-1}, \quad \mu(s) = \frac{1}{\alpha - \beta - 1} (\alpha \exp s - \alpha + 1)(\alpha \exp s - \beta - 1) \exp(-sT_0).$$

Далее, несложная проверка показывает, что $\mu(0) = 1$, $\mu'(s) < 0 \quad \forall s > 0$, $\mu(s) \rightarrow 0$ при $s \rightarrow +\infty$. Отсюда очевидным образом следуют включения $\mu_k \in (0, 1)$, $k = \overline{1, m-1}$. Лемма 2 доказана.

В системе (8) неподвижной точке $z = 0$ отвечает цикл, являющийся аналогом однородного цикла (4) и имеющий компоненты $x(t, \varepsilon) = (1/\lambda) \ln u_*(t, \lambda)|_{\lambda=1/\varepsilon}$, $y_j(t, \varepsilon) \equiv 0$, $j = \overline{1, m-1}$, где $u_*(t, \lambda)$ – функция из (4). Лемма 2 и теорема 1 приводят к выводу, что этот цикл экспоненциально орбитально устойчив при любом фиксированном значении $d > 0$ и при всех достаточно малых ε .

Отыскание других устойчивых неподвижных точек отображения (17) будем проводить в предположении малости параметра d , что позволяет асимптотически проинтегрировать систему (9) при $0 \leq t \leq T_0$ и при

$$(\alpha, \beta) \in \mathcal{U}_1 \cup \mathcal{U}_2, \quad (22)$$

где

$$\mathcal{U}_1 = \{(\alpha, \beta) : \alpha > (\beta + 1)(\beta + 2), \beta > 0\}, \quad (23)$$

$$\mathcal{U}_2 = \{(\alpha, \beta) : 1 < \alpha < 2, 0 < \beta < (\alpha - 1)(2 - \alpha)\}.$$

На этом пути приходим к следующему утверждению.

Теорема 2. При любых фиксированных значениях α, β , удовлетворяющих включению (22), и при всех достаточно малых $d > 0$ отображение (17) имеет m экспоненциально устойчивых неподвижных точек

$$O_{k_0}(d) = (z_{1,k_0}(d), z_{2,k_0}(d), \dots, z_{m-1,k_0}(d)), \quad k_0 = \overline{0, m-1}, \quad (24)$$

компоненты которых при $d \rightarrow 0$ в случае $(\alpha, \beta) \in \mathcal{U}_1$ допускают асимптотику

$$z_{j,k_0} = \ln \frac{1}{d} - \ln \frac{\beta + 1}{\alpha - \beta - 1} + \ln(k_0 + 1 - j) + o(1), \quad j = \overline{1, k_0}; \quad (25)$$

$$z_{j,k_0} = -\ln \frac{1}{d} + \ln \frac{\beta + 1}{\alpha - \beta - 1} - \ln(j - k_0) + o(1), \quad j = \overline{k_0 + 1, m-1},$$

а в случае $(\alpha, \beta) \in \mathcal{U}_2$ – асимптотику

$$z_{j,k_0} = -(\alpha - 1) \ln \frac{1}{d} - (\alpha - 1) \ln(k_0 + 1 - j) + \alpha \ln(\alpha - 1) + o(1), \quad j = \overline{1, k_0}; \quad (26)$$

$$z_{j,k_0} = (\alpha - 1) \ln \frac{1}{d} + (\alpha - 1) \ln(j - k_0) - \alpha \ln(\alpha - 1) + o(1), \quad j = \overline{k_0 + 1, m-1}.$$

Доказательству этой теоремы посвятим следующий пункт. Здесь же отметим, что в совокупности с теоремой 1 она гарантирует наличие у исходной системы (1) (при условии (22) и при соответствующем уменьшении параметра d) не менее m устойчивых автоволновых периодических режимов, сосуществующих с устойчивым однородным циклом (4).

4. Обоснование теоремы 2. Предположим сначала, что $(\alpha, \beta) \in \mathcal{U}_1$. Выберем затем некоторое целое k_0 , $0 \leq k_0 \leq m-1$, и в соответствии с ожидаемыми равенствами (25) дополним систему (9) начальными условиями

$$y_j|_{t=0} = \ln \frac{1}{d} + v_j, \quad j = \overline{1, k_0}; \quad y_j|_{t=0} = -\ln \frac{1}{d} + v_j, \quad j = \overline{k_0 + 1, m-1}, \quad (27)$$

где $v_j = \text{const} \in \mathbb{R}$, $j = \overline{1, m-1}$. Далее, зафиксируем произвольно компактное множество $\Omega \subset \mathbb{R}^{m-1}$ и обозначим через

$$(y_1(t, v, d), \dots, y_{m-1}(t, v, d))^T, \quad 0 \leq t \leq T_0, \quad v = (v_1, \dots, v_{m-1})^T \in \Omega, \quad (28)$$

решение получившейся задачи Коши (9), (27) (здесь и ниже операция $(\cdot, \dots, \cdot)^T$ означает транспонирование).

Согласно формулам (27) и правилам пересчета начальных условий в точке $t = 0$ (см. (9)), на отрезке $0 \leq t \leq 1$ после замен

$$y_j = \frac{\alpha - 1}{\alpha - \beta - 1} \ln \frac{1}{d} + h_j, \quad j = \overline{1, k_0}; \quad y_j = -\frac{\alpha - 1}{\alpha - \beta - 1} \ln \frac{1}{d} + h_j, \quad (29)$$

$$j = \overline{k_0 + 1, m-1}; \quad \tau = d^{-\delta_0} t, \quad \delta_0 = \beta / (\alpha - \beta - 1)$$

приходим к задаче Коши

$$\frac{dh}{d\tau} = H_1(h) + d^{2+2\delta_0} H_2(h) + d^{1+\delta_0} H_3, \quad h|_{\tau=0} = \frac{\alpha-1}{\alpha-\beta-1} v, \quad (30)$$

где $h = (h_1, \dots, h_{m-1})^T$, $H_k = (H_{1,k}, \dots, H_{m-1,k})^T$, $k = 1, 2, 3$, а компоненты $H_{j,k}$ задаются равенствами

$$H_{j,1} = \exp h_{j+1} - \exp h_j, \quad j = \overline{1, k_0 - 1}; \quad H_{k_0,1} = -\exp h_{k_0}, \quad H_{k_0+1,1} = \exp(-h_{k_0+1}); \quad (31)$$

$$\begin{aligned} H_{j,1} &= \exp(-h_j) - \exp(-h_{j-1}), \quad j = \overline{k_0 + 2, m - 1}; \\ H_{1,2} &= \exp(-h_1), \quad H_{j,2} = \exp(-h_j) - \exp(-h_{j-1}), \quad j = \overline{2, k_0 - 1}; \\ H_{k_0,2} &= \exp h_{k_0+1} + \exp(-h_{k_0}) - \exp(-h_{k_0-1}), \end{aligned} \quad (32)$$

$$\begin{aligned} H_{k_0+1,2} &= \exp h_{k_0+2} - \exp h_{k_0+1} - \exp(-h_{k_0}), \\ H_{j,2} &= \exp h_{j+1} - \exp h_j, \quad j = \overline{k_0 + 2, m - 2}; \quad H_{m-1,2} = -\exp h_{m-1}; \\ H_{1,3} &= -1, \quad H_{j,3} = 0, \quad j = \overline{2, m - 2}; \quad H_{m-1,3} = 1. \end{aligned} \quad (33)$$

Добавим еще, что переменная τ в системе (30) изменяется на асимптотически большом отрезке $J = [0, d^{-\delta_0}]$.

Для выявления асимптотических свойств компонент $h_j(\tau, v, d)$, $j = \overline{1, m - 1}$, решения задачи (30) положим в ней $d = 0$. В результате придем к задаче Коши

$$\frac{dh_j}{d\tau} = \exp h_{j+1} - \exp h_j, \quad j = \overline{1, k_0 - 1}; \quad \frac{dh_{k_0}}{d\tau} = -\exp h_{k_0}; \quad (34)$$

$$\begin{aligned} \frac{dh_{k_0+1}}{d\tau} &= \exp(-h_{k_0+1}), \quad \frac{dh_j}{d\tau} = \exp(-h_j) - \exp(-h_{j-1}), \quad j = \overline{k_0 + 2, m - 1}; \\ h_j|_{\tau=0} &= \tilde{v}_j, \quad j = \overline{1, m - 1}, \end{aligned} \quad (35)$$

где $\tilde{v}_j = \frac{\alpha-1}{\alpha-\beta-1} v_j$, $j = \overline{1, m - 1}$. Как показывает несложная проверка, для компонент $h_j^0(\tau, v)$, $j = \overline{1, m - 1}$, решения получившейся задачи (34), (35) выполняются равенства

$$\begin{aligned} \sum_{r=1}^s h_{k_0+r}^0(\tau, v) &= \ln \left\{ \frac{\tau^s}{s!} + \sum_{\ell=0}^{s-1} \frac{\tau^\ell}{\ell!} \exp \left(\sum_{j=1}^{s-\ell} \tilde{v}_{k_0+j} \right) \right\}, \quad s = \overline{1, m - 1 - k_0}; \\ \sum_{r=0}^{s-1} h_{k_0-r}^0(\tau, v) &= -\ln \left\{ \frac{\tau^s}{s!} + \sum_{\ell=0}^{s-1} \frac{\tau^\ell}{\ell!} \exp \left(-\sum_{j=1}^{s-\ell} \tilde{v}_{k_0-j+1} \right) \right\}, \quad s = \overline{1, k_0}. \end{aligned} \quad (36)$$

Строгий смысл описанным выше действиям придает

Лемма 3. *Равномерно по $\tau \in J$, $v \in \Omega$ имеют место асимптотические представления*

$$h_j(\tau, v, d) = h_j^0(\tau, v) + O(d), \quad \frac{\partial h_j}{\partial v_s}(\tau, v, d) = \frac{\partial h_j^0}{\partial v_s}(\tau, v) + O(d), \quad j, s = \overline{1, m - 1}. \quad (37)$$

Доказательство. Выполним в системе (30) замену $h = h^0(\tau, v) + \tilde{h}$, где $h^0(\tau, v) = (h_1^0(\tau, v), \dots, h_{m-1}^0(\tau, v))^T$. В результате приходим к задаче Коши для вектор-функции $\tilde{h} = (\tilde{h}_1, \dots, \tilde{h}_{m-1})^T$

$$\frac{d\tilde{h}}{d\tau} = A(\tau)\tilde{h} + \Psi_0(\tau, \tilde{h}) + d^{2+2\delta_0}\Psi_1(\tau, \tilde{h}) + d^{1+\delta_0}\Psi_2, \quad \tilde{h}|_{\tau=0} = 0, \quad (38)$$

где

$$A(\tau) = H_1'(h)|_{h=h^0(\tau,v)}, \quad \Psi_0(\tau, \tilde{h}) = H_1(h^0(\tau, v) + \tilde{h}) - H_1(h^0(\tau, v)) - A(\tau)\tilde{h}, \quad (39)$$

$$\Psi_1(\tau, \tilde{h}) = H_2(h^0(\tau, v) + \tilde{h}), \quad \Psi_2 = H_3,$$

а вектор-функции H_1, H_2, H_3 заданы равенствами (31)–(33).

Обратим внимание на то, что задача (38) сингулярна в том смысле, что ее приходится рассматривать на асимптотически большом промежутке времени $\tau \in J$, т.е. необходимо знать поведение при $\tau \rightarrow +\infty$ матрицы $A(\tau)$ и вектор-функций Ψ_0, Ψ_1 . При решении этой задачи нам потребуются вытекающие из (36) асимптотические представления (равномерные по $v \in \Omega$)

$$h_j^0(\tau, v) = -\ln \tau + \ln(k_0 + 1 - j) + O(1/\tau), \quad \tau \rightarrow +\infty, \quad j = \overline{1, k_0};$$

$$h_j^0(\tau, v) = \ln \tau - \ln(j - k_0) + O(1/\tau), \quad \tau \rightarrow +\infty, \quad j = \overline{k_0 + 1, m - 1}.$$

Действительно, учитывая соотношения (40) в явных формулах (31)–(33) и (39), приходим к выводу о существовании таких непрерывных по $r \in \mathbb{R}_+$ функций $M_s = M_s(r) > 0$, $s = 1, 2, 3$, что для любых векторов $\tilde{h}^{(1)}, \tilde{h}^{(2)}, \tilde{h} \in \mathbb{R}^{m-1}$, удовлетворяющих неравенствам $\|\tilde{h}^{(1)}\|, \|\tilde{h}^{(2)}\|, \|\tilde{h}\| \leq r$ (здесь и далее $\|\cdot\|$ – евклидова норма в \mathbb{R}^{m-1} или индуцированная ей матричная норма), и для любого $\tau \in \mathbb{R}_+$ справедливы оценки

$$\|\Psi_0(\tau, \tilde{h}^{(1)}) - \Psi_0(\tau, \tilde{h}^{(2)})\| \leq \frac{rM_1}{\tau + 1} \|\tilde{h}^{(1)} - \tilde{h}^{(2)}\|, \quad (41)$$

$$\|\Psi_1(\tau, \tilde{h}^{(1)}) - \Psi_1(\tau, \tilde{h}^{(2)})\| \leq (\tau + 1)M_2 \|\tilde{h}^{(1)} - \tilde{h}^{(2)}\|, \quad \|\Psi_1(\tau, \tilde{h})\| \leq (\tau + 1)M_3.$$

Обратимся теперь к линейной системе $d\tilde{h}/d\tau = A(\tau)\tilde{h}$ и обозначим через $K(\tau, s)$, $K(s, s) = I$, $\tau \geq s \geq 0$, ее матрицу Коши. Из асимптотических равенств (40) и из явных формул (31), (39) вытекает, что

$$A(\tau) = \frac{A_0}{\tau + 1} + \Delta(\tau), \quad \|\Delta(\tau)\| \leq \frac{M}{\tau^2 + 1}, \quad \tau \in \mathbb{R}_+, \quad (42)$$

где $A_0 = \text{diag}\{A_0^{(1)}, A_0^{(2)}\}$, $A_0^{(1)} = (a_{i,j}^{(1)})_{i,j=\overline{1,k_0}}$, $A_0^{(2)} = (a_{i,j}^{(2)})_{i,j=\overline{1,m-1-k_0}}$,

$$a_{i,j}^{(1)} = 0 \quad \text{при} \quad j < i \quad \text{и} \quad j > i + 2, \quad a_{i,i}^{(1)} = -(k_0 + 1 - i), \quad a_{i,i+1}^{(1)} = k_0 - i; \quad (43)$$

$$a_{i,j}^{(2)} = 0 \quad \text{при} \quad j > i \quad \text{и} \quad j < i - 2, \quad a_{i,i}^{(2)} = -i, \quad a_{i,i-1}^{(2)} = i - 1,$$

а буквами M, M_1 и т.д. здесь и ниже обозначаем некоторые универсальные (не зависящие от τ и v) положительные постоянные, точные значения которых несущественны.

Используя представление (42), для $K(\tau, s)$ получаем интегральное уравнение

$$K(\tau, s) = \exp\left(A_0 \ln \frac{\tau + 1}{s + 1}\right) + \int_s^\tau \exp\left(A_0 \ln \frac{\tau + 1}{\sigma + 1}\right) \Delta(\sigma) K(\sigma, s) d\sigma. \quad (44)$$

Учитывая, далее, в (44) неравенство для $\Delta(\tau)$ из (42) и вытекающую из (43) оценку

$$\left\| \exp\left(A_0 \ln \frac{\tau + 1}{s + 1}\right) \right\| \leq M \frac{s + 1}{\tau + 1}, \quad \tau \geq s \geq 0,$$

приходим к интегральному неравенству для функции $v(\tau, s) = \|K(\tau, s)\|(\tau + 1)/(s + 1)$ вида

$$v(\tau, s) \leq M_1 + M_2 \int_s^\tau \frac{v(\sigma, s)}{1 + \sigma^2} d\sigma,$$

из которого в свою очередь в силу леммы Гронуолла–Беллмана имеем

$$v(\tau, s) \leq M_1 \exp \left\{ \int_s^\tau \frac{M_2}{1 + \sigma^2} d\sigma \right\} \leq M_3.$$

Отсюда для исходной матрицы $K(\tau, s)$ получаем оценку

$$\|K(\tau, s)\| \leq M \frac{s+1}{\tau+1}, \quad \tau \geq s \geq 0. \quad (45)$$

Следующий способ действий стандартен. Перейдем от (38) к эквивалентному интегральному уравнению

$$\tilde{h}(\tau) = \int_0^\tau K(\tau, s) \{ \Psi_0(s, \tilde{h}(s)) + d^{2+2\delta_0} \Psi_1(s, \tilde{h}(s)) + d^{1+\sigma_0} \Psi_2 \} ds \quad (46)$$

и обозначим через Π оператор, порожденный его правой частью в пространстве $C(J; \mathbb{R}^{m-1})$ непрерывных вектор-функций $\tilde{h}(\tau)$, $\tau \in J$, с нормой $\|\tilde{h}\|_C = \max_{\tau \in J} \|\tilde{h}(\tau)\|$. Из оценок (41), (45) вытекает, что этот оператор преобразует в себя некоторый замкнутый шар пространства $C(J; \mathbb{R}^{m-1})$ с центром в нуле радиуса $r = M_1 d$ и является в нем сжимающим с константой сжатия $q = M_2 d$, где $M_1, M_2 = \text{const} > 0$. Отсюда и из принципа сжимающих отображений заключаем, что уравнение (46) имеет в упомянутом шаре единственное решение. Таким образом, установлена первая группа асимптотических равенств из (37).

Для доказательства второй группы асимптотических формул (37) зафиксируем натуральное s , $1 \leq s \leq m-1$, и продифференцируем задачу (30) по компоненте v_s . В результате для $g = (\partial h_1 / \partial v_s, \dots, \partial h_{m-1} / \partial v_s)^T$ получим задачу Коши

$$\frac{dg}{d\tau} = A(\tau, d)g, \quad g|_{\tau=0} = \frac{\alpha-1}{\alpha-\beta-1} e_s, \quad (47)$$

где e_s – единичный орт с номером s , а матрица $A(\tau, d)$ в силу (31)–(33) и уже установленных асимптотических формул для $h_j(\tau, v, d)$, $j = \overline{1, m-1}$, допускает асимптотическое представление

$$A(\tau, d) = A(\tau) + dB(\tau, d), \quad \|B(\tau, d)\| \leq \frac{M}{\tau+1}, \quad \tau \in J. \quad (48)$$

Далее, положим в (47) $g = g_0 + \tilde{g}$, где $g_0 = (\partial h_1^0 / \partial v_s, \dots, \partial h_{m-1}^0 / \partial v_s)^T$ – решение задачи Коши, получающейся из (47) при $d = 0$, и перейдем к аналогичному (46) линейному неоднородному интегральному уравнению

$$\tilde{g}(\tau) = d \int_0^\tau K(\tau, s) B(s, d) (g_0(s, v) + \tilde{g}(s)) ds. \quad (49)$$

Анализ уравнения (49) основан на неравенстве (45), оценке из (48) и вытекающих из (36) асимптотических формул (равномерных по $v \in \Omega$)

$$\frac{\partial h_j^0}{\partial v_s}(\tau, v) = O\left(\frac{1}{\tau}\right), \quad \tau \rightarrow +\infty, \quad j, s = \overline{1, m-1}. \quad (50)$$

Объединяя перечисленные факты и проводя те же рассуждения, что и в нелинейном случае (46), убеждаемся в том, что уравнение (49) имеет единственное решение $\tilde{g}(\tau, v, d) \in C(J; \mathbb{R}^{m-1})$, $\|\tilde{g}\|_C \leq Md$. Лемма 3 полностью доказана.

Возвратимся к решению (28) задачи Коши (9), (27). Подставляя в равенства (29) представления (37), приходим к выводу, что равномерно по $0 \leq t \leq 1$, $v \in \Omega$ имеют место асимптотические равенства

$$\begin{aligned} y_j(t, v, d) &= \frac{\alpha - 1}{\alpha - \beta - 1} \ln \frac{1}{d} + h_j^0(\tau, v)|_{\tau=d^{-\delta_0}t} + O(d), \quad j = \overline{1, k_0}; \\ y_j(t, v, d) &= -\frac{\alpha - 1}{\alpha - \beta - 1} \ln \frac{1}{d} + h_j^0(\tau, v)|_{\tau=d^{-\delta_0}t} + O(d), \quad j = \overline{k_0 + 1, m - 1}; \\ \frac{\partial y_j}{\partial v_s}(t, v, d) &= \frac{\partial h_j^0}{\partial v_s}(\tau, v) \Big|_{\tau=d^{-\delta_0}t} + O(d), \quad j, s = \overline{1, m - 1}. \end{aligned} \quad (51)$$

Полагая затем в (51) $t = 1$ и учитывая асимптотические представления (40), (50), убеждаемся в том, что

$$\begin{aligned} y_j(1 - 0, v, d) &= \ln \frac{1}{d} + \ln(k_0 + 1 - j) + O(d^{\min(1, \delta_0)}), \quad j = \overline{1, k_0}; \\ y_j(1 - 0, v, d) &= -\ln \frac{1}{d} - \ln(j - k_0) + O(d^{\min(1, \delta_0)}), \quad j = \overline{k_0 + 1, m - 1}; \\ \frac{\partial y_j}{\partial v_s}(1 - 0, v, d) &= O(d^{\min(1, \delta_0)}), \quad j, s = \overline{1, m - 1}. \end{aligned} \quad (52)$$

Рассмотрим теперь отрезок $1 \leq t \leq \alpha$. В силу равенств (52) и правил пересчета начальных условий в точке $t = 1$ на этом промежутке времени решение (28) определяется из системы (12) с начальными условиями

$$y_j|_{t=1} = -\frac{\beta + 1}{\alpha - \beta - 1} \ln \frac{1}{d} + \ln(k_0 + 1 - j) - \frac{\alpha}{\alpha - \beta - 1} v_j + O(d^{\min(1, \delta_0)}), \quad j = \overline{1, k_0}; \quad (53)$$

$$y_j|_{t=1} = \frac{\beta + 1}{\alpha - \beta - 1} \ln \frac{1}{d} - \ln(j - k_0) - \frac{\alpha}{\alpha - \beta - 1} v_j + O(d^{\min(1, \delta_0)}), \quad j = \overline{k_0 + 1, m - 1}.$$

Равенства (53) указывают на целесообразность выполнения в (12) замены переменных

$$y_j = -\frac{\beta + 1}{\alpha - \beta - 1} \ln \frac{1}{d} + h_j, \quad j = \overline{1, k_0}; \quad y_j = \frac{\beta + 1}{\alpha - \beta - 1} \ln \frac{1}{d} + h_j, \quad j = \overline{k_0 + 1, m - 1}. \quad (54)$$

Действительно, после указанной замены для нахождения $h = (h_1, \dots, h_{m-1})^T$ получаем задачу Коши

$$\dot{h} = d^{1+\delta_1} H_1(h) + d^{1-\delta_1} H_2(h) + d H_3, \quad (55)$$

$$h_j|_{t=1} = \ln(k_0 + 1 - j) - \frac{\alpha}{\alpha - \beta - 1} v_j + O(d^{\min(1, \delta_0)}), \quad j = \overline{1, k_0}; \quad (56)$$

$$h_j|_{t=1} = -\ln(j - k_0) - \frac{\alpha}{\alpha - \beta - 1} v_j + O(d^{\min(1, \delta_0)}), \quad j = \overline{k_0 + 1, m - 1}.$$

Здесь $\delta_1 = (\beta + 1)/(\alpha - \beta - 1) < 1$ (в силу принадлежности точки (α, β) множеству \mathcal{U}_1 из (22), (23)), вектор-функции H_k , $k = 1, 2, 3$, те же, что и в (30), а остатки в (56) сохраняют свой порядок при дифференцировании по v_s , $s = \overline{1, m - 1}$.

В отличие от предыдущего случая исследование задачи (55), (56) тривиально, поскольку ее правые части регулярно зависят от параметра d , а сама она рассматривается на конечном отрезке $1 \leq t \leq \alpha$. Поэтому для компонент $h_j(t, v, d)$, $j = \overline{1, m - 1}$, ее решения запишем сразу окончательный результат:

$$\begin{aligned} h_j(t, v, d) &= \ln(k_0 + 1 - j) - \frac{\alpha}{\alpha - \beta - 1} v_j + O(d^{\min(\delta_0, 1-\delta_1)}), \quad j = \overline{1, k_0}; \\ h_j(t, v, d) &= -\ln(j - k_0) - \frac{\alpha}{\alpha - \beta - 1} v_j + O(d^{\min(\delta_0, 1-\delta_1)}), \quad j = \overline{k_0 + 1, m - 1}, \end{aligned} \quad (57)$$

равномерно по $t \in [1, \alpha]$, $v \in \Omega$. Добавим еще, что равенства (57) сохраняются при дифференцировании по v_s , $s = \overline{1, m-1}$.

Соотношения (54), (57) и правила пересчета начальных условий в точке $t = \alpha$ приводят к выводу, что на очередном отрезке $\alpha \leq t \leq \alpha + 1$ компоненты решения (28) удовлетворяют системе (12), дополненной начальными условиями

$$y_j|_{t=\alpha} = -\frac{(\beta+1)^2}{\alpha-\beta-1} \ln \frac{1}{d} + (\beta+1) \ln(k_0+1-j) - \frac{\alpha(\beta+1)}{\alpha-\beta-1} v_j + O(d^{\min(\delta_0, 1-\delta_1)}),$$

$$j = \overline{1, k_0};$$

$$y_j|_{t=\alpha} = \frac{(\beta+1)^2}{\alpha-\beta-1} \ln \frac{1}{d} - (\beta+1) \ln(j-k_0) - \frac{\alpha(\beta+1)}{\alpha-\beta-1} v_j + O(d^{\min(\delta_0, 1-\delta_1)}),$$

$$j = \overline{k_0+1, m-1}.$$

Анализ получившейся задачи Коши (12), (58), (59) идентичен изложенному выше исследованию задачи (12), (53): как и в предыдущем случае, после перехода к координатам h_j , $j = \overline{1, m-1}$, посредством аналогичных (54) равенств (в которых множитель $(\beta+1)/(\alpha-\beta-1)$ перед $\ln(1/d)$ заменяется на $(\beta+1)^2/(\alpha-\beta-1)$) для $h = (h_1, \dots, h_{m-1})^T$ имеем уравнение вида (55), где δ_1 следует заменить на $\delta_2 = (\beta+1)^2/(\alpha-\beta-1)$. Подчеркнем, что в силу неравенства $\delta_2 < 1$, вытекающего из условия $(\alpha, \beta) \in \mathcal{U}_1$, упомянутое уравнение регулярно зависит от d . Отсюда очевидным образом следует, что равномерно по $t \in [\alpha, \alpha+1]$, $v \in \Omega$ имеют место аналогичные (54), (57) асимптотические представления

$$y_j(t, v, d) = -\frac{(\beta+1)^2}{\alpha-\beta-1} \ln \frac{1}{d} + (\beta+1) \ln(k_0+1-j) - \frac{\alpha(\beta+1)}{\alpha-\beta-1} v_j + O(d^{\min(\delta_0, 1-\delta_1, 1-\delta_2)}),$$

$$j = \overline{1, k_0};$$

$$y_j(t, v, d) = \frac{(\beta+1)^2}{\alpha-\beta-1} \ln \frac{1}{d} - (\beta+1) \ln(j-k_0) - \frac{\alpha(\beta+1)}{\alpha-\beta-1} v_j + O(d^{\min(\delta_0, 1-\delta_1, 1-\delta_2)}),$$

$$j = \overline{k_0+1, m-1},$$

сохраняющиеся при дифференцировании по переменным v_s , $s = \overline{1, m-1}$.

На оставшемся отрезке $\alpha+1 \leq t \leq T_0$ сталкиваемся с той же ситуацией, что и в случае $0 \leq t \leq 1$. Согласно равенствам (60), (61) и импульсным соотношениям в точке $t = \alpha+1$, здесь рассмотрению подлежит система (12) с начальными условиями

$$y_j|_{t=\alpha+1} = (\beta+1) \ln \frac{1}{d} - (\alpha-\beta-1) \ln(k_0+1-j) + \alpha v_j + O(d^{\min(\delta_0, 1-\delta_1, 1-\delta_2)}),$$

$$j = \overline{1, k_0};$$

$$y_j|_{t=\alpha+1} = -(\beta+1) \ln \frac{1}{d} + (\alpha-\beta-1) \ln(j-k_0) + \alpha v_j + O(d^{\min(\delta_0, 1-\delta_1, 1-\delta_2)}),$$

$$j = \overline{k_0+1, m-1}.$$

Выполняя, далее, в задаче Коши (12), (62), (63) замены

$$y_j = (\beta+1) \ln \frac{1}{d} + h_j, \quad j = \overline{1, k_0}; \quad y_j = -(\beta+1) \ln \frac{1}{d} + h_j, \quad j = \overline{k_0+1, m-1};$$

$$\tau = d^{-\delta_3}(t - \alpha - 1),$$

где $\delta_3 = \beta$, преобразуем ее к аналогичному (30) виду

$$\frac{dh}{d\tau} = H_1(h) + d^{2+2\delta_3} H_2(h) + d^{1+\delta_3} H_3, \quad h|_{\tau=0} = \tilde{v}. \quad (65)$$

Здесь $h = (h_1, \dots, h_{m-1})^T$, вектор-функции H_k , $k = 1, 2, 3$, те же, что и в (30), а компоненты вектора $\tilde{v} = (\tilde{v}_1, \dots, \tilde{v}_{m-1})^T$ задаются равенствами

$$\begin{aligned} \tilde{v}_j &= -(\alpha - \beta - 1) \ln(k_0 + 1 - j) + \alpha v_j + O(d^{\min(\delta_0, 1-\delta_1, 1-\delta_2)}), \quad j = \overline{1, k_0}; \\ \tilde{v}_j &= (\alpha - \beta - 1) \ln(j - k_0) + \alpha v_j + O(d^{\min(\delta_0, 1-\delta_1, 1-\delta_2)}), \quad j = \overline{k_0 + 1, m-1}. \end{aligned} \quad (66)$$

Добавим еще, что задача (65) рассматривается на асимптотически большом отрезке $\tau \in J = [0, (T_0 - \alpha - 1)d^{-\delta_3}]$.

Из всего сказанного выше следует, что в данном случае мы находимся в условиях применимости леммы 3. Поэтому для компонент $h_j(\tau, v, d)$, $j = \overline{1, m-1}$, решения задачи (65) равномерно по $\tau \in J$, $v \in \Omega$ оказываются справедливыми асимптотические представления (37), в которых функции $h_j^0(\tau, v)$ по-прежнему определяются из задачи Коши (34), (35), но с учетом новых равенств (66). Отсюда и из (64), (40), (50) заключаем, что равномерно по $v \in \Omega$ выполняются равенства

$$\begin{aligned} y_j(T_0, v, d) &= \ln \frac{1}{d} - \ln \frac{\beta + 1}{\alpha - \beta - 1} + \ln(k_0 + 1 - j) + O(d^\kappa), \quad j = \overline{1, k_0}; \\ y_j(T_0, v, d) &= -\ln \frac{1}{d} + \ln \frac{\beta + 1}{\alpha - \beta - 1} - \ln(j - k_0) + O(d^\kappa), \quad j = \overline{k_0 + 1, m-1}; \\ \frac{\partial y_j}{\partial v_s}(T_0, v, d) &= O(d^\kappa), \quad j, s = \overline{1, m-1}, \quad \kappa = \min(\delta_0, 1 - \delta_1, 1 - \delta_2, \delta_3). \end{aligned} \quad (67)$$

Подведем промежуточный итог. Из асимптотических равенств (67) следует, что после выполнения в отображении (17) замен

$$z_j = \ln \frac{1}{d} + v_j, \quad j = \overline{1, k_0}; \quad z_j = -\ln \frac{1}{d} + v_j, \quad j = \overline{k_0 + 1, m-1}, \quad (68)$$

оно преобразуется к виду

$$v \rightarrow v_* + O(d^\kappa), \quad v_* = (v_1^*, \dots, v_{m-1}^*)^T, \quad (69)$$

где $v_j^* = -\ln \frac{\beta + 1}{\alpha - \beta - 1} + \ln(k_0 + 1 - j)$, $j = \overline{1, k_0}$; $v_j^* = \ln \frac{\beta + 1}{\alpha - \beta - 1} - \ln(j - k_0)$, $j = \overline{k_0 + 1, m-1}$, а остаток имеет указанный порядок малости в метрике $C^1(\Omega)$. Теперь предположим, что вектор v_* является внутренней точкой множества Ω . Тогда, очевидно, отображение (69) при всех достаточно малых $d > 0$ допускает экспоненциально устойчивую неподвижную точку

$$v(d) = v_* + O(d^\kappa), \quad d \rightarrow 0. \quad (70)$$

И наконец, объединяя равенства (68), (70), приходим к требуемым соотношениям (24), (25).

В случае $(\alpha, \beta) \in \mathcal{U}_2$ рассуждения во многом аналогичны приведенным выше. Здесь в соответствии с (26) дополним систему (9) начальными условиями

$$y_j|_{t=0} = -(\alpha - 1) \ln \frac{1}{d} + v_j, \quad j = \overline{1, k_0}; \quad y_j|_{t=0} = (\alpha - 1) \ln \frac{1}{d} + v_j, \quad j = \overline{k_0 + 1, m-1}, \quad (71)$$

где $v_j = \text{const} \in \mathbb{R}$, $j = \overline{1, m-1}$. Далее, из равенств (71) и из импульсных соотношений в точке $t = 0$ заключаем, что на отрезке $0 \leq t \leq 1$ рассмотрению подлежит задача Коши для системы (12) с начальными условиями

$$\begin{aligned} y_j|_{t=0} &= -\frac{(\alpha - 1)^2}{\alpha - \beta - 1} \ln \frac{1}{d} + \frac{\alpha - 1}{\alpha - \beta - 1} v_j, \quad j = \overline{1, k_0}; \\ y_j|_{t=0} &= \frac{(\alpha - 1)^2}{\alpha - \beta - 1} \ln \frac{1}{d} + \frac{\alpha - 1}{\alpha - \beta - 1} v_j, \quad j = \overline{k_0 + 1, m-1}. \end{aligned} \quad (72)$$

Как обычно, выполним в задаче (12), (72) замены

$$y_j = -\frac{(\alpha-1)^2}{\alpha-\beta-1} \ln \frac{1}{d} + h_j, \quad j = \overline{1, k_0}; \quad y_j = \frac{(\alpha-1)^2}{\alpha-\beta-1} \ln \frac{1}{d} + h_j, \quad j = \overline{k_0+1, m-1}. \quad (73)$$

В результате для $h = (h_1, \dots, h_{m-1})^T$ приходим к задаче Коши

$$\dot{h} = d^{1+\gamma_0} H_1(h) + d^{1-\gamma_0} H_2(h) + d H_3, \quad h|_{t=0} = \frac{\alpha-1}{\alpha-\beta-1} v, \quad (74)$$

где $\gamma_0 = (\alpha-1)^2/(\alpha-\beta-1) < 1$ (в силу условия $(\alpha, \beta) \in \mathcal{U}_2$), а вектор-функции H_k , $k = 1, 2, 3$, те же, что и в (30). Остается заметить, что поскольку задача (74) регулярно зависит от параметра d , то для компонент $h_j(t, v, d)$, $j = \overline{1, m-1}$, ее решения справедливы равномерные по $t \in [0, 1]$, $v \in \Omega$ асимптотические равенства

$$h_j(t, v, d) = \frac{\alpha-1}{\alpha-\beta-1} v_j + O(d^{1-\gamma_0}), \quad j = \overline{1, m-1}, \quad (75)$$

сохраняющиеся при дифференцировании по v_s , $s = \overline{1, m-1}$.

При $1 \leq t \leq \alpha$ в соответствии с равенствами (73), (75) и очередными импульсными соотношениями рассматриваем систему (12), дополненную начальными условиями

$$\begin{aligned} y_j|_{t=1} &= \frac{\alpha-1}{\alpha-\beta-1} \ln \frac{1}{d} - \frac{1}{\alpha-\beta-1} v_j + O(d^{1-\gamma_0}), \quad j = \overline{1, k_0}; \\ y_j|_{t=1} &= -\frac{\alpha-1}{\alpha-\beta-1} \ln \frac{1}{d} - \frac{1}{\alpha-\beta-1} v_j + O(d^{1-\gamma_0}), \quad j = \overline{k_0+1, m-1}. \end{aligned} \quad (76)$$

Сделаем в задаче (12), (76) аналогичные (29) замены

$$\begin{aligned} y_j &= \frac{\alpha-1}{\alpha-\beta-1} \ln \frac{1}{d} + h_j, \quad j = \overline{1, k_0}; \quad y_j = -\frac{\alpha-1}{\alpha-\beta-1} \ln \frac{1}{d} + h_j, \quad j = \overline{k_0+1, m-1}; \\ \tau &= d^{-\gamma_1}(t-1), \quad \gamma_1 = \beta/(\alpha-\beta-1), \end{aligned} \quad (77)$$

приводящие ее к аналогичному (30) виду

$$\frac{dh}{d\tau} = H_1(h) + d^{2+2\gamma_1} H_2(h) + d^{1+\gamma_1} H_3, \quad h|_{\tau=0} = -\frac{1}{\alpha-\beta-1} v + O(d^{1-\gamma_0}), \quad (78)$$

где $h = (h_1, \dots, h_{m-1})^T$. Остается воспользоваться леммой 3, из которой следует, что для компонент $h_j(\tau, v, d)$, $j = \overline{1, m-1}$, решения задачи (78) равномерно по $\tau \in [0, (\alpha-1)d^{-\gamma_1}]$, $v \in \Omega$ выполняются равенства

$$h_j(\tau, v, d) = h_j^0(\tau, v) + O(d^{1-\gamma_0}), \quad \frac{\partial h_j}{\partial v_s}(\tau, v, d) = \frac{\partial h_j^0}{\partial v_s}(\tau, v) + O(d^{1-\gamma_0}), \quad j, s = \overline{1, m-1}, \quad (79)$$

где функции $h_j^0(\tau, v)$ определяются из задачи Коши (34), (35) при $\tilde{v}_j = -v_j/(\alpha-\beta-1)$, $j = \overline{1, m-1}$.

Объединяя соотношения (77), (79), приходим к выводу, что

$$\begin{aligned} y_j(\alpha-0, v, d) &= \ln \frac{1}{d} - \ln(\alpha-1) + \ln(k_0+1-j) + O(d^{\min(1-\gamma_0, \gamma_1)}), \quad j = \overline{1, k_0}; \\ y_j(\alpha-0, v, d) &= -\ln \frac{1}{d} + \ln(\alpha-1) - \ln(j-k_0) + O(d^{\min(1-\gamma_0, \gamma_1)}), \quad j = \overline{k_0+1, m-1}; \\ \frac{\partial y_j}{\partial v_s}(\alpha-0, v, d) &= O(d^{\min(1-\gamma_0, \gamma_1)}), \quad j, s = \overline{1, m-1}. \end{aligned} \quad (80)$$

Отсюда и из импульсных соотношений в точке $t = \alpha$ вытекает, что на очередном отрезке $\alpha \leq t \leq \alpha + 1$ надо рассматривать систему (12) с начальными условиями

$$y_j|_{t=\alpha} = (\beta + 1) \ln \frac{1}{d} + (\beta + 1) \ln \frac{k_0 + 1 - j}{\alpha - 1} + O(d^{\min(1-\gamma_0, \gamma_1)}), \quad j = \overline{1, k_0};$$

$$y_j|_{t=\alpha} = -(\beta + 1) \ln \frac{1}{d} - (\beta + 1) \ln \frac{j - k_0}{\alpha - 1} + O(d^{\min(1-\gamma_0, \gamma_1)}), \quad j = \overline{k_0 + 1, m - 1}.$$

Задача Коши (12), (81) после замен

$$y_j = (\beta + 1) \ln \frac{1}{d} + h_j, \quad j = \overline{1, k_0}; \quad y_j = -(\beta + 1) \ln \frac{1}{d} + h_j, \quad j = \overline{k_0 + 1, m - 1};$$

$$\tau = d^{-\gamma_2}(t - \alpha), \quad \gamma_2 = \beta,$$

в свою очередь преобразуется к аналогичной (78) задаче

$$\frac{dh}{d\tau} = H_1(h) + d^{2+2\gamma_2} H_2(h) + d^{1+\gamma_2} H_3, \quad h|_{\tau=0} = \tilde{v} + O(d^{\min(1-\gamma_0, \gamma_1)}),$$

где $h = (h_1, \dots, h_{m-1})^T$, $\tilde{v} = (\tilde{v}_1, \dots, \tilde{v}_{m-1})^T$,

$$\tilde{v}_j = (\beta + 1) \ln \frac{k_0 + 1 - j}{\alpha - 1}, \quad j = \overline{1, k_0}; \quad \tilde{v}_j = -(\beta + 1) \ln \frac{j - k_0}{\alpha - 1}, \quad j = \overline{k_0 + 1, m - 1},$$

а τ изменяется на асимптотически большом отрезке $0 \leq \tau \leq d^{-\gamma_2}$.

Нетрудно увидеть, что к задаче (83) применима лемма 3, а значит, для компонент $h_j(\tau, v, d)$, $j = \overline{1, m - 1}$, ее решения выполняются аналоги равенств (37). Объединяя их с (82), убеждаемся в справедливости аналогичных (80) асимптотических представлений

$$y_j(\alpha + 1 - 0, v, d) = \ln \frac{1}{d} + \ln(k_0 + 1 - j) + O(d^{\min(1-\gamma_0, \gamma_1, \gamma_2)}), \quad j = \overline{1, k_0};$$

$$y_j(\alpha + 1 - 0, v, d) = -\ln \frac{1}{d} - \ln(j - k_0) + O(d^{\min(1-\gamma_0, \gamma_1, \gamma_2)}), \quad j = \overline{k_0 + 1, m - 1};$$

$$\frac{\partial y_j}{\partial v_s}(\alpha + 1 - 0, v, d) = O(d^{\min(1-\gamma_0, \gamma_1, \gamma_2)}), \quad j, s = \overline{1, m - 1}.$$

На заключительном отрезке $\alpha + 1 \leq t \leq T_0$, согласно (84) и импульсным соотношениям при $t = \alpha + 1$, получаем систему (12) с начальными условиями

$$y_j|_{t=\alpha+1} = -(\alpha - 1) \ln \frac{1}{d} - (\alpha - 1) \ln(k_0 + 1 - j) + \alpha \ln(\alpha - 1) + O(d^{\min(1-\gamma_0, \gamma_1, \gamma_2)}), \quad j = \overline{1, k_0};$$

$$y_j|_{t=\alpha+1} = (\alpha - 1) \ln \frac{1}{d} + (\alpha - 1) \ln(j - k_0) - \alpha \ln(\alpha - 1) + O(d^{\min(1-\gamma_0, \gamma_1, \gamma_2)}), \quad j = \overline{k_0 + 1, m - 1},$$

которая в силу неравенства $\alpha - 1 < 1$ (см. определение множества \mathcal{U}_2) после замен

$$y_j = -(\alpha - 1) \ln \frac{1}{d} + h_j, \quad j = \overline{1, k_0}; \quad y_j = (\alpha - 1) \ln \frac{1}{d} + h_j, \quad j = \overline{k_0 + 1, m - 1},$$

преобразуется к регулярно зависящей от d задаче Коши

$$\dot{h} = d^{1+\gamma_3} H_1(h) + d^{1-\gamma_3} H_2(h) + d H_3, \quad h = (h_1, \dots, h_{m-1})^T,$$

$$h_j|_{t=\alpha+1} = -(\alpha - 1) \ln(k_0 + 1 - j) + \alpha \ln(\alpha - 1) + O(d^{\min(1-\gamma_0, \gamma_1, \gamma_2)}), \quad j = \overline{1, k_0};$$

$$h_j|_{t=\alpha+1} = (\alpha - 1) \ln(j - k_0) - \alpha \ln(\alpha - 1) + O(d^{\min(1-\gamma_0, \gamma_1, \gamma_2)}), \quad j = \overline{k_0 + 1, m - 1},$$

где $\gamma_3 = \alpha - 1$. Отсюда очевидным образом следует, что

$$\begin{aligned} y_j(T_0, v, d) &= -(\alpha - 1) \ln \frac{1}{d} - (\alpha - 1) \ln(k_0 + 1 - j) + \alpha \ln(\alpha - 1) + O(d^\varkappa), \quad j = \overline{1, k_0}; \\ y_j(T_0, v, d) &= (\alpha - 1) \ln \frac{1}{d} + (\alpha - 1) \ln(j - k_0) - \alpha \ln(\alpha - 1) + O(d^\varkappa), \quad j = \overline{k_0 + 1, m - 1}; \\ \frac{\partial y_j}{\partial v_s}(T_0, v, d) &= O(d^\varkappa), \quad j, s = \overline{1, m - 1}, \quad \varkappa = \min(1 - \gamma_0, \gamma_1, \gamma_2, 1 - \gamma_3). \end{aligned} \quad (85)$$

Для окончания доказательства теоремы 2 обратимся к формулам (85) и повторим все рассуждения, идущие после равенств (67) и завершающие рассмотрение случая $(\alpha, \beta) \in \mathcal{U}_1$. В итоге убеждаемся в существовании при $(\alpha, \beta) \in \mathcal{U}_2$ у отображения (11) устойчивых неподвижных точек (24) с асимптотикой (26).

5. Заключительные замечания. В первую очередь поставим вопрос, можно ли расширить область (22) изменения параметров α, β , в которой существуют устойчивые неподвижные точки (24). В связи с этим представим множество $\mathcal{U} = \{(\alpha, \beta) : \alpha > \beta + 1, \beta > 0\}$ всех допустимых параметров в виде

$$\mathcal{U} = \mathcal{U}_1 \cup \mathcal{U}_2 \cup \mathcal{U}_3 \cup \mathcal{U}_4 \cup \mathcal{U}_5 \cup \Gamma_1 \cup \Gamma_2 \cup \Gamma_3 \cup \Gamma_4, \quad (86)$$

где $\mathcal{U}_1, \mathcal{U}_2$ – области (23),

$$\mathcal{U}_3 = \{(\alpha, \beta) : 2\beta + 2 < \alpha < (\beta + 1)(\beta + 2), \beta > 0\},$$

$$\mathcal{U}_4 = \{(\alpha, \beta) : \max(2, 1 + \beta) < \alpha < 2\beta + 2, \beta > 0\},$$

$$\mathcal{U}_5 = \{(\alpha, \beta) : 1 < \alpha < 2, (\alpha - 1)(2 - \alpha) < \beta < \alpha - 1\},$$

$$\Gamma_1 = \{(\alpha, \beta) : \alpha = (\beta + 1)(\beta + 2), \beta > 0\}, \quad \Gamma_2 = \{(\alpha, \beta) : \alpha = 2\beta + 2, \beta > 0\},$$

$$\Gamma_3 = \{(\alpha, \beta) : \beta = (\alpha - 1)(2 - \alpha), 1 < \alpha < 2\}, \quad \Gamma_4 = \{(\alpha, \beta) : \alpha = 2, 0 < \beta < 1\}.$$

Принцип, по которому осуществлено разбиение (86) множества \mathcal{U} , состоит в следующем. Рассмотрим систему (9) при $m = 2$, имеющую вид

$$\dot{y} = -2d \operatorname{sh} y,$$

$$y(+0) = \frac{\alpha - 1}{\alpha - \beta - 1} y(-0), \quad y(1+0) = y(1-0) - \frac{\alpha}{\alpha - 1} y(+0), \quad (87)$$

$$y(\alpha+0) = (1 + \beta)y(\alpha-0), \quad y(\alpha+1+0) = y(\alpha+1-0) - \frac{\alpha}{1 + \beta} y(\alpha+0),$$

и дополним ее начальным условием

$$y|_{t=-0} = \min(\alpha - 1, 1) \ln \frac{1}{d} + v, \quad v = \operatorname{const} \in \mathbb{R}. \quad (88)$$

Далее, через $y(t, v, d)$ обозначим решение получившейся задачи Коши (87), (88), а также положим $t_1 = 0$, $t_2 = 1$, $t_3 = \alpha$, $t_4 = \alpha + 1$. Последующее асимптотическое интегрирование задачи (87), (88) приводит к формулам вида

$$y(t_k + 0, v, d) = c_k \ln \frac{1}{d} + O(1), \quad d \rightarrow 0, \quad k = \overline{1, 4},$$

где c_k – некоторые константы. Как оказывается, неравенства $|c_k| \neq 1$ выделяют в \mathcal{U} пять связанных подобластей \mathcal{U}_s , $s = \overline{1, 5}$, разделенных граничными множествами Γ_s , $s = \overline{1, 4}$.

Разбиение (86), выполненное для случая $m = 2$, остается актуальным при любом $m \geq 2$. Используя развитую в п. 4 методику, можно показать, что при $(\alpha, \beta) \in \mathcal{U}_3 \cup \mathcal{U}_4 \cup \mathcal{U}_5$ утверждение

теоремы 2 сохраняется, причем при $(\alpha, \beta) \in \mathcal{U}_3 \cup \mathcal{U}_4$ для устойчивых неподвижных точек (24) справедливы равенства (25), а при $(\alpha, \beta) \in \mathcal{U}_5$ – равенства (26).

Вопрос о промежуточной динамике системы (1) при постепенном уменьшении параметра d в общем случае остается открытым. Ответ на него удастся получить только при $m = 2$, т.е. для так называемой билокальной модели

$$\begin{aligned} \dot{u}_1 &= d(u_2 - u_1) + \lambda[-1 + \alpha f(u_1(t-1)) - \beta g(u_1)]u_1, \\ \dot{u}_2 &= d(u_1 - u_2) + \lambda[-1 + \alpha f(u_2(t-1)) - \beta g(u_2)]u_2. \end{aligned} \quad (89)$$

Связано это с тем, что при $m = 2$ все фигурирующие в (17) операторы могут быть записаны явно, поскольку здесь

$$P^t(z) = \ln \frac{1 + \operatorname{th}(z/2) \exp(-2dt)}{1 - \operatorname{th}(z/2) \exp(-2dt)}, \quad t \in \mathbb{R}. \quad (90)$$

Используя формулы (16), (17), (90), нетрудно убедиться в том, что скалярная функция $\Phi_0(z)$ обладает свойствами

$$\Phi_0(-z) = -\Phi_0(z), \quad \Phi_0(z) > 0 \quad \forall z \in (0, +\infty), \quad \lim_{z \rightarrow +\infty} \Phi_0(z) = \Phi_\infty > 0.$$

Обратим внимание на то, что нечетность функции $\Phi_0(z)$ обусловлена инвариантностью исходной системы (89) по отношению к преобразованию координат

$$u \rightarrow u_2, \quad u_2 \rightarrow u_1. \quad (91)$$

Характерная особенность отображения (17) в одномерном случае заключается в том, что при уменьшении параметра d на его инвариантном множестве \mathbb{R}_+ происходит бифуркация рождения пары неподвижных точек – устойчивой и неустойчивой. Наглядное представление об этом процессе дают графики функции $\Phi_0(z)$ при $\alpha = 1.1$, $\beta = 0.05$ и при $d = 0.05, 0.0435, 0.03$, построенные с помощью формул (16), (17), (90) на отрезке $0 \leq z \leq 0.6$ (см. рис. 1–3). Заметим, далее, что в силу свойства нечетности $\Phi_0(z)$ устойчивой и неустойчивой неподвижным точкам из \mathbb{R}_+ отвечают аналогичные симметрично расположенные неподвижные точки из \mathbb{R}_- , а всем им в исходной релаксационной системе (89) соответствуют две пары циклов той же устойчивости, переходящие друг в друга в результате замены (91).

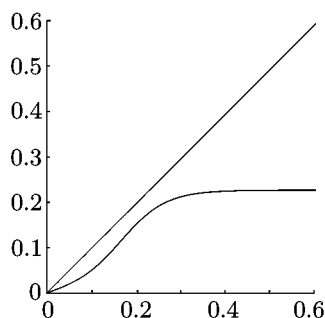


Рис. 1. $d = 0.05$.

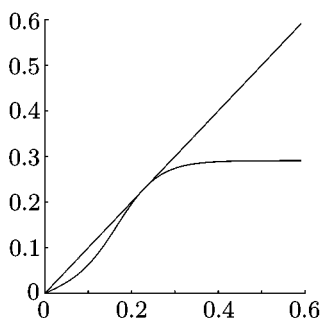


Рис. 2. $d = 0.0435$.

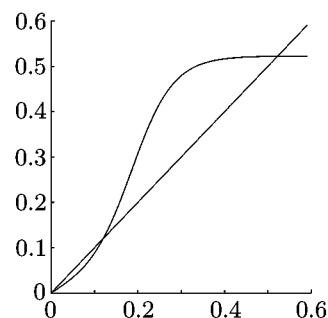


Рис. 3. $d = 0.03$.

Итак, при фиксированных $(\alpha, \beta) \in \bigcup_{k=1}^5 \mathcal{U}_k$ и при достаточно малых $d > 0$ система (89) имеет три устойчивых цикла – однородный и два неоднородных. Некоторое представление о релаксационных свойствах последних дает рис. 4, на котором изображены графики на плоскости (t, u) компонент $u_1(t)$, $u_2(t)$ одного из них при $f = g = (u+1)/(u^2+1)$, $\lambda = 3$, $\alpha = 3$, $\beta = 1$, $d = 0.03$ (сплошной линией изображена функция $u_1(t)$, а штриховой – $u_2(t)$).

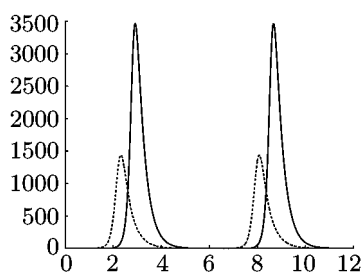


Рис. 4.

В заключение отметим, что в системе (1) наблюдается известный феномен буферности [4, 5], представляющий собой один из фундаментальных законов функционирования нелинейного мира. Об этом феномене принято говорить, когда в некоторой системе при подходящем выборе параметров реализуется любое наперед заданное конечное число однотипных аттракторов (циклов, инвариантных торов и т.д.). В нашем случае в силу теорем 1, 2 при согласованном увеличении количества осцилляторов в цепочке (1) и уменьшении параметра связи d происходит неограниченное накопление устойчивых автоволновых периодических движений. С биофизической точки зрения наличие в системе (1)

большого числа различных аттракторов вполне закономерно, поскольку буферность отражает реальную ситуацию, когда в неокортексе человеческого мозга множество концепций и идей конкурируют друг с другом за доминирование.

СПИСОК ЛИТЕРАТУРЫ

1. Кащенко С.А., Майоров В.В. Модели волновой памяти. М., 2009.
2. Глызин С.Д., Колесов А.Ю., Розов Н.Х. Релаксационные автоколебания в нейронных системах. II // Дифференц. уравнения. 2011. Т. 47. № 12. С. 1675–1692.
3. Глызин С.Д., Колесов А.Ю., Розов Н.Х. Релаксационные автоколебания в нейронных системах. I // Дифференц. уравнения. 2011. Т. 47. № 7. С. 919–932.
4. Колесов А.Ю., Розов Н.Х. Инвариантные торы нелинейных волновых уравнений. М., 2004.
5. Мищенко Е.Ф., Садовничий В.А., Колесов А.Ю., Розов Н.Х. Автоволновые процессы в нелинейных средах с диффузией. М., 2004.

Ярославский государственный университет
им. П.Г. Демидова,
Московский государственный университет
им. М.В. Ломоносова

Поступила в редакцию
09.11.2010 г.